

第二章 高速粒子运动学

高速运动的微观粒子体系：相对论效应、量子效应；



忽略引力作用

狭义相对论效应

光速不变原理：在各种惯性系中测量得到的真空中的光速相同。

狭义相对性原理：所有的物理基本规律都应在任一惯性系中具有相同的形式。

狭义相对论中，任意两个惯性系通过Lorentz变换相联系。

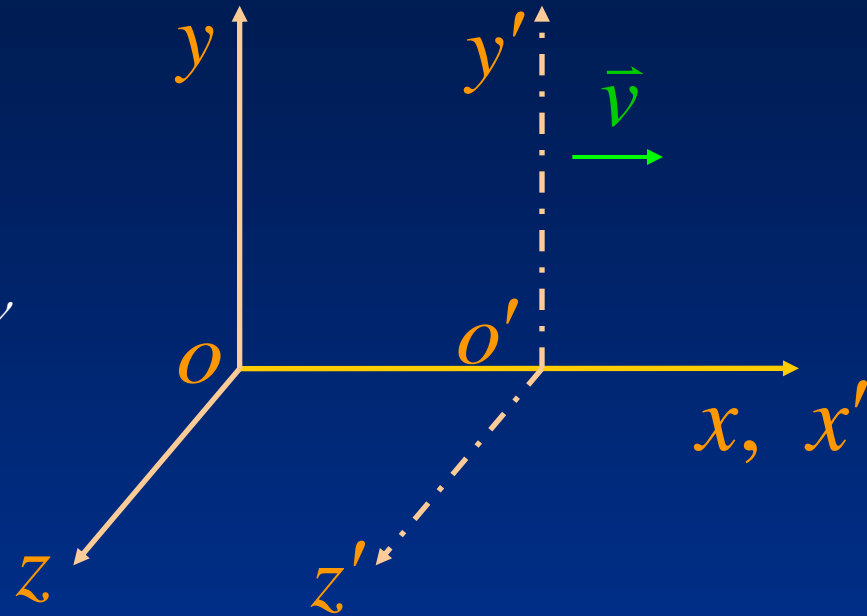
§ 2.1 Lorentz变换

一、时空坐标的Lorentz变换

$$\left. \begin{aligned} x'^0 &= \gamma(x^0 - \beta x^1) \\ x'^1 &= \gamma(x^1 - \beta x^0) \\ x'^2 &= x^2 \\ x'^3 &= x^3 \end{aligned} \right\} x'^{\mu} = \Lambda^{\mu}_{\nu} x^{\nu}$$

$$\Lambda = \begin{pmatrix} \gamma & -\gamma\beta & 0 & 0 \\ -\gamma\beta & \gamma & 0 & 0 \\ 0 & 0 & 1 & 0 \\ 0 & 0 & 0 & 1 \end{pmatrix}$$

$$\beta = \frac{v}{c}, \quad \gamma = \frac{1}{\sqrt{1 - \beta^2}},$$



二、四动量的Lorentz变换

$$\left. \begin{aligned} E' &= \gamma(E - \beta p^1) \\ p'^1 &= \gamma(p^1 - \beta E) \\ p'^2 &= p^2 \\ p'^3 &= p^3 \end{aligned} \right\} p'^{\mu} = \Lambda^{\mu}_{\nu} p^{\nu} \quad p^{\mu} = (p^0, p^1, p^2, p^3) = (E, \vec{p})$$

Lorentz 不变式: $E^2 - \vec{p}^2 = E'^2 - \vec{p}'^2 = \text{常量}$

1) 单粒子 (m): $E^2 - \vec{p}^2 = E'^2 - \vec{p}'^2 = m^2$;

2) 多粒子体系 (M): $\left(\sum_i E_i \right)^2 - \left(\sum_i \vec{p}_i \right)^2 = E_{cm}^2 = s$

三、Bjorken度规和Pauli度规

Bjorken度规

$$x^\mu = (x^0, x^1, x^2, x^3) \\ = (t, x, y, z)$$

$$g_{\mu\nu} = \text{diag}(1, -1, -1, -1)$$

$$A \cdot B = A_0 B_0 - \vec{A} \cdot \vec{B}$$

$$p^2 = m^2$$

Pauli度规

$$x_\mu = (x_1, x_2, x_3, x_4) \\ = (x, y, z, it)$$

$$g_{\mu\nu} = \text{diag}(1, 1, 1, 1)$$

$$A \cdot B = \vec{A} \cdot \vec{B} - A_0 B_0$$

$$p^2 = -m^2$$

Bjorken度规下:

$$A \cdot A = A_0 A_0 - \vec{A} \cdot \vec{A}$$

$$A^2 > 0, \quad \text{类时矢量}$$

$$A^2 < 0, \quad \text{类空矢量}$$

§ 2.2 实验室系和质心系

一、质心系和反应有效能量 （两粒子系统）

1、“打靶”实验

高速粒子（炮弹） m_1 ； 靶粒子 m_2 .

实验室系（Lab系）：相对于实验室或靶粒子静止的参考系；

质心系（c.m.系）：相对于入射粒子和靶粒子的质心静止的参考系；

两粒子的四动量：

$$\text{Lab系: } p_{1\text{Lab}} = (E_{1\text{Lab}}, \vec{p}_{1\text{Lab}}), \quad p_{2\text{Lab}} = (m_2, \vec{0})$$

$$\text{c.m.系: } p_{1\text{cm}} = (E_{1\text{cm}}, \vec{p}_{1\text{cm}}), \quad p_{2\text{cm}} = (E_{2\text{cm}}, \vec{p}_{2\text{cm}})$$

反应的有效能量：体系在质心系中的总能量。

$$E_{cm} = E_{1cm} + E_{2cm}$$

总的四动量：

Lab系： $P_{Lab} = p_{1Lab} + p_{2Lab}$

c.m.系： $P_{cm} = p_{1cm} + p_{2cm} = (E_{cm}, \vec{0})$

Lorentz 不变量：

$$P_{Lab}^2 = P_{cm}^2 = P^2,$$

$$\begin{aligned} P^2 &= E_{cm}^2 = (p_{1Lab} + p_{2Lab})^2 = m_1^2 + m_2^2 + 2p_{1Lab} \cdot p_{2Lab} \\ &= m_1^2 + m_2^2 + 2m_2 E_{1Lab} \end{aligned}$$

$$\therefore E_{cm} = \sqrt{m_1^2 + m_2^2 + 2m_2 E_{1Lab}}.$$

当 $2m_2E_{1Lab} \gg m_1^2 + m_2^2$ 时,

$$E_{cm} \approx \sqrt{2m_2E_{1Lab}}.$$

能量利用的效率低

2、对撞实验

常用质量相同、能量相同的两束粒子进行对撞，
如 e^+e^- , e^-e^- , pp , $p\bar{p}$ 对撞，这时质心系即实验室系，

$$p_1 = (E_1, \vec{p}_1), \quad p_2 = (E_2, -\vec{p}_1)$$

$$\begin{aligned} E_{cm}^2 &= P^2 = (p_1 + p_2)^2 \\ &= m_1^2 + m_2^2 + 2(E_1E_2 + \vec{p}_1^2) \\ &\approx 4E_1E_2 \end{aligned}$$

Fermi Lab, $p\bar{p}$ 对撞机, 称为TEVOTRON,

$$E_{cm} = 2\text{TeV}, \quad E_p = E_{\bar{p}} = 1\text{TeV}.$$

$$(m_p \approx 1\text{GeV}, \quad 1\text{TeV} = 1 \times 10^{12} \text{eV}, \quad 1\text{GeV} = 1 \times 10^9 \text{eV})$$

若改成打靶实验, 则需

$$E_{1Lab} = \frac{E_{cm}^2}{2m_p} = \frac{4\text{TeV}^2}{(2 \times 10^{-3})\text{TeV}} = 2000\text{TeV}.$$



二、反应Q值和阈能

反应Q值 (Q): 反应前后粒子的动能差;

反应阈能 ($E_{\text{阈}}$): 产生吸热反应最小可能的入射粒子实验室能量。

$$m_1 + m_2 \rightarrow m_3 + m_4,$$

$$E_i = T_i + m_i,$$

$$Q = (T_3 + T_4) - (T_1 + T_2) = (m_1 + m_2) - (m_3 + m_4).$$

$$\begin{cases} Q > 0: & \text{放热反应} \end{cases}$$

$$\begin{cases} Q < 0: & \text{吸热反应} \end{cases}$$

对于打静止靶 ($E_2 = m_2$),

$$E_{\text{阈}} = \frac{(m_3 + m_4)^2 - (m_1^2 + m_2^2)}{2m_2}.$$

三、一些物理量在实验室系和质心系之间的变换关系

参见：章乃森《粒子物理学》（上册）P102-108；
曾谨言《量子力学》



§ 2.3 相空间

一、n个粒子反应的Lorentz不变量

$$1 \rightarrow 2 + 3 + \cdots + n - 1, \quad 1 + 2 \rightarrow 3 + 4 + \cdots + n - 2,$$

n 个粒子的四动量: $p_i (i = 1, 2, \cdots, n)$

引入符号: $(p_i, p_j) = p_i \cdot p_j = g^{\mu\nu} p_{i\mu} p_{j\nu}$.

n 个粒子反应中独立的Lorentz 不变量个数: $\frac{n(n-3)}{2}$

n	3	4	5	6	7	8	9
衰变末态粒子数	2	3	4	5	6	7	8
反应末态粒子数		2	3	4	5	6	7
独立不变量个数	0	2	5	9	14	20	27

二、n体末态相空间

两粒子碰撞反应

$$a + b \rightarrow 1 + 2 + \cdots + n,$$

n 个末态粒子的能量、动量共有 $4n$ 个分量,

质壳条件: $p_i^2 = m_i^2$, (n 个限制条件)

总的能动量守恒: $p_a + p_b = \sum_{i=1}^n p_i$, (4个限制条件)

n 个末态粒子的自由度: $4n - (n + 4) = 3n - 4$

由这 $3n - 4$ 个独立的能量、动量分量所张成的 $3n - 4$ 维空间就称为
 n 体末态相空间。

两粒子碰撞反应 $a + b \rightarrow 1 + 2 + \cdots + n$ 的反应截面:

$$\frac{d\sigma}{d\Omega} \propto |\mathcal{M}|^2 d\phi_n.$$

相空间因子, 运动学因素

振幅, 动力学因素

n 个末态粒子的相空间体积元:

$$d^4 p_1 d^4 p_2 \cdots d^4 p_n,$$

其中

$$d^4 p_i = dp_{ix} dp_{iy} dp_{iz} dE_i = d^3 p_i dE_i. \quad (\text{Lorentz 不变})$$

单个粒子四维动量空间体积元

反应初、末态的所有粒子都是自由粒子，须满足：

$$p_i^2 = g_{\mu\nu} p_i^\mu p_i^\nu = E_i^2 - \vec{p}_i^2 = m_i^2, \longrightarrow \delta(p_i^2 - m_i^2)$$

$$E_i \geq 0. \longrightarrow \theta(E_i)$$

(Lorentz不变)

单个自由粒子的四维动量空间体积元为：

$$d^4 p_i \delta(p_i^2 - m_i^2) \theta(E_i).$$

$$\int d^4 p_i \delta(p_i^2 - m_i^2) \theta(E_i)$$

$$= \int d^3 p_i dE_i \delta(E_i^2 - \vec{p}_i^2 - m_i^2) \theta(E_i)$$

$$= \int \delta(E_i^2 - \vec{p}_i^2 - m_i^2) \theta(E_i) d^3 p_i \frac{d(E_i^2 - \vec{p}_i^2 - m_i^2)}{2E_i}$$

$$= \left. \frac{d^3 p_i}{2E_i} \right|_{E_i = \sqrt{\vec{p}_i^2 + m_i^2}}$$

Lorentz不变的 n 体末态相空间体积元:

$$d\phi_n(p_a, p_b; p_1, p_2, \dots, p_n) = \delta^4(p_a + p_b - \sum_{i=1}^n p_i) \prod_{i=1}^n \frac{d^3 p_i}{(2\pi)^3 2E_i}.$$

n 体末态相空间积分:

$$\phi_n = \int \delta^4(p_a + p_b - \sum_{i=1}^n p_i) \prod_{i=1}^n \frac{d^3 p_i}{(2\pi)^3 2E_i}. \quad (3n-4 \text{重积分})$$

二体末态相空间:

$$\phi_2 = \int \delta^4(p_a + p_b - p_1 - p_2) \left[\frac{1}{(2\pi)^3} \right]^2 \frac{d^3 p_1}{2E_1} \frac{d^3 p_2}{2E_2}.$$

二体末态相空间的计算：（质心系中）

质心系总能量： $E^* = E_a^* + E_b^* = E_1^* + E_2^*$

$$\begin{aligned}\phi_2 &= \int \delta^4(p_a^* + p_b^* - p_1^* - p_2^*) \left[\frac{1}{(2\pi)^3} \right]^2 \frac{d\vec{p}_1^*}{2E_1^*} \frac{d\vec{p}_2^*}{2E_2^*} \\&= \int \delta(E_a^* + E_b^* - E_1^* - E_2^*) \frac{1}{(2\pi)^6} \frac{d\vec{p}_1^*}{4E_1^* E_2^*} \\&= \int \frac{\delta(E^* - E_1^* - E_2^*)}{4E_1^* E_2^*} \frac{1}{(2\pi)^6} \frac{d\vec{p}_1^*}{dE^*} dE^* \\&= \int \frac{|\vec{p}_1^*|^2}{4E_1^* E_2^*} \frac{1}{(2\pi)^6} d\Omega \frac{d|\vec{p}_1^*|}{dE^*}.\end{aligned}$$

$$\because |\vec{p}_1^*| = |\vec{p}_2^*| = |\vec{q}^*|,$$

$$\therefore \frac{dE^*}{d|\vec{p}_1^*|} = \frac{dE_1^*}{d|\vec{p}_1^*|} + \frac{dE_2^*}{d|\vec{p}_2^*|} = |\vec{q}^*| \left(\frac{1}{E_1^*} + \frac{1}{E_2^*} \right) = |\vec{q}^*| \frac{E^*}{E_1^* E_2^*},$$

$$\phi_2 = \frac{1}{(2\pi)^6} \int \frac{|\vec{q}^*|}{4E^*} d\Omega.$$

若末态粒子在质心系中的分布是各向同性的，则

$$\phi_2 = \frac{1}{2(2\pi)^5} \frac{|\vec{q}^*|}{E^*}.$$

相空间的粗略比较:

简单假设: 所有末态粒子的质量都为0.

则各向同性的末态相空间积分得到

$$\phi_2 = \frac{1}{4(2\pi)^5},$$

$$\phi_3 = \frac{s}{32(2\pi)^7},$$

$$\therefore \frac{\phi_2}{\phi_3} = \frac{s}{32\pi^2}.$$



一般地,

$$\frac{\phi_{n+1}}{\phi_n} = \frac{s}{16\pi^2 n(n-1)}.$$

$$\phi_n = \frac{1}{4(2\pi)^5 (n-1)!(n-2)!} \left[\frac{s}{16\pi^2} \right]^{n-2}.$$

从运动学上考虑, 对有限的体系总能量 s , 产生的粒子数越多, 相空间 (概率) 越小。

无量纲化的 n 体末态相空间: $\phi'_n = \frac{\phi_n}{s^{n-2}}.$

$m_i = 0$ 时, $\phi'_2 : \phi'_3 = 1 : 315.8$

一般地, 末态粒子增加一个, 无量纲化的相空间就要减少两个数量级。

三、不变质量谱

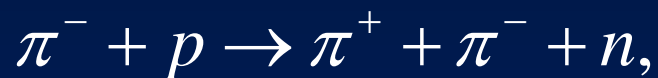
$$A + B \rightarrow 1 + 2 + \cdots + n,$$

$$A + B \rightarrow M + (k+1) + \cdots + n$$
$$\quad \quad \quad \downarrow$$
$$\quad \quad \quad 1 + 2 + \cdots + k,$$

不变质量 M :

$$\begin{aligned} P^2 &= (E_1 + E_2 + \cdots + E_k)^2 + (\vec{p}_1 + \vec{p}_2 + \cdots + \vec{p}_k)^2 \\ &= (E_{1cm} + E_{2cm} + \cdots + E_{kcm})^2 \\ &= M^2. \end{aligned}$$

例:



$$\searrow 1 + 2 + \cdots + k,$$

(a)

(b)

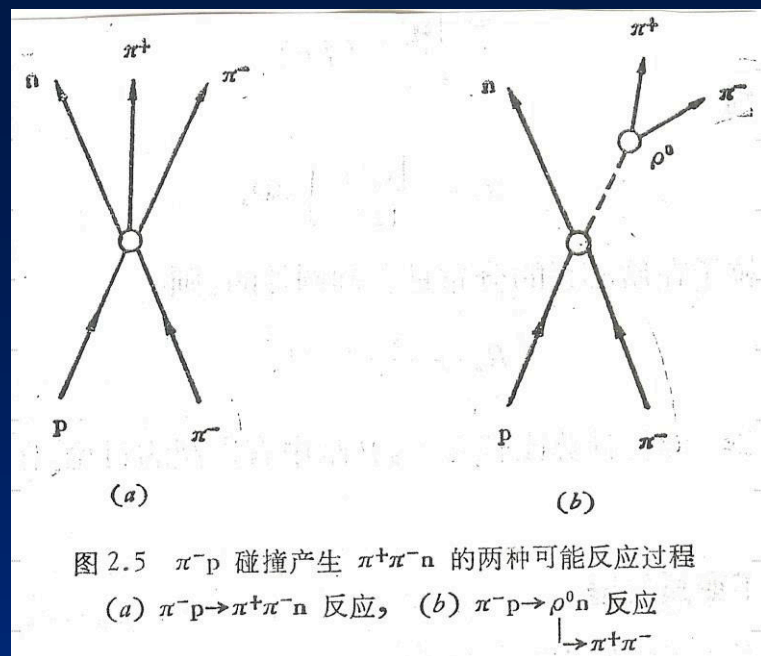


图 2.5 $\pi^{-}p$ 碰撞产生 $\pi^{+}\pi^{-}n$ 的两种可能反应过程

(a) $\pi^{-}p \rightarrow \pi^{+}\pi^{-}n$ 反应, (b) $\pi^{-}p \rightarrow \rho^{0}n$ 反应

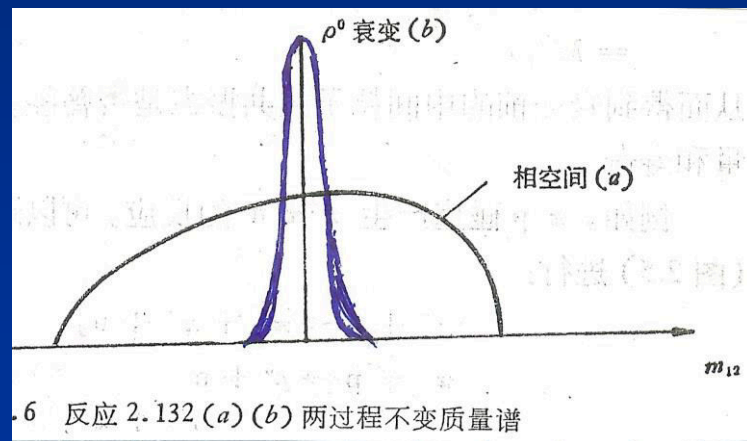
$\rho^{0} \rightarrow \pi^{+}\pi^{-}$

(a)模式的 $M_{\pi^{+}\pi^{-}}$ 谱:

由相空间决定的统计分布;

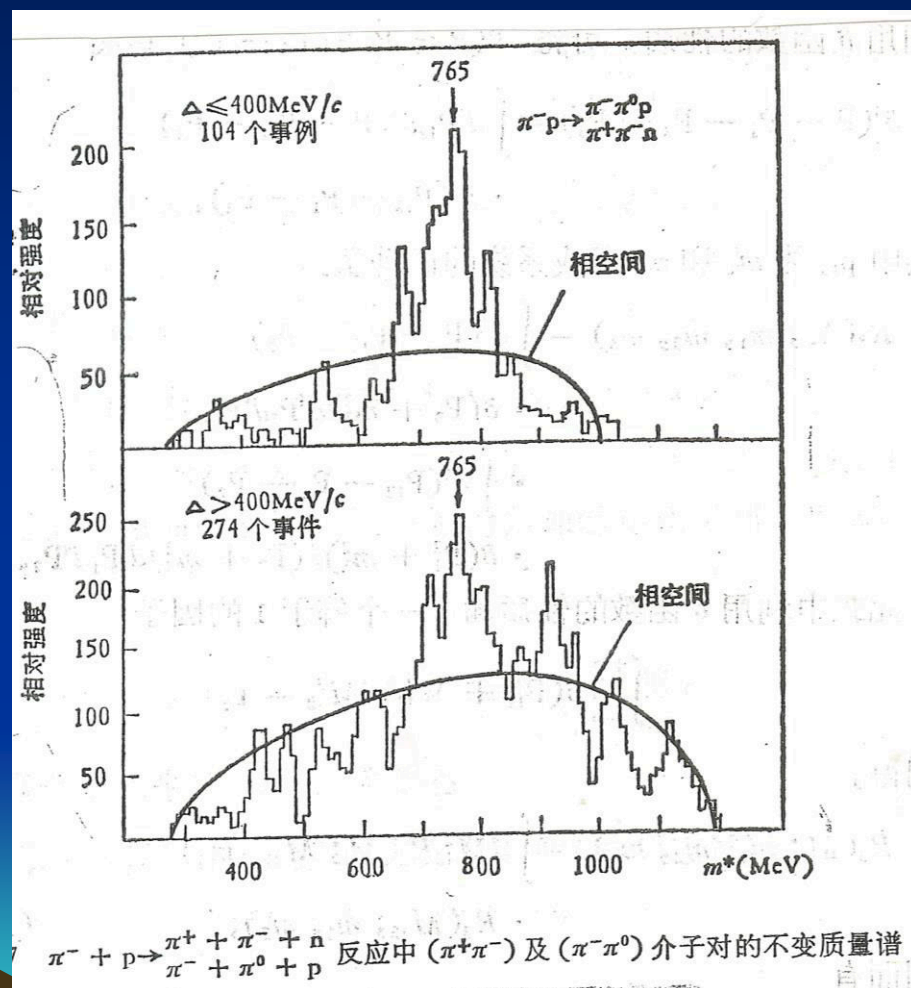
(b)模式的 $M_{\pi^{+}\pi^{-}}$ 谱:

Breit - Wigner共振曲线分布.



6 反应 2.132 (a) (b) 两过程不变质量谱

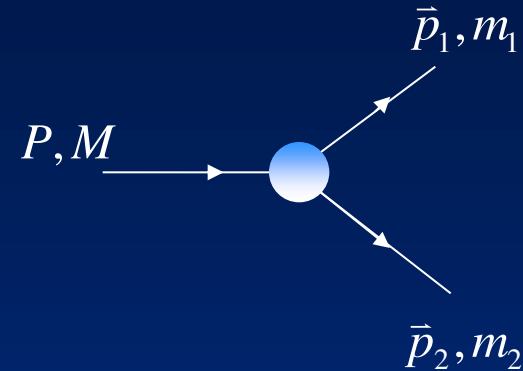
实际的反应过程，(a)和(b)模式共存，不变质量谱是在统计分布的基础上有一个共振峰。



§ 2.4 几类典型的运动学问题

一、两体衰变

在母粒子静止系中,



$$E_1 = \frac{M^2 - m_2^2 + m_1^2}{2M}, \quad (2.4.1)$$

$$|\vec{p}_1| = |\vec{p}_2| = \frac{\sqrt{[M^2 - (m_1 + m_2)^2][M^2 - (m_1 - m_2)^2]}}{2M}, \quad (2.4.2)$$

$$d\Gamma = \frac{1}{32\pi^2} |\mathcal{M}|^2 \frac{|\vec{p}_1|^2}{M^2} d\Omega, \quad (2.4.3)$$

Lorentz不变振幅

$d\Omega = d\phi_1 d(\cos \theta_1)$ —— 粒子1的立体角

二、 $2 \rightarrow 2$ 反应 $(1+2 \rightarrow 3+4)$

1、 s, t, u 不变量

四动量守恒要求：

$$p_1 + p_2 = p_3 + p_4.$$

定义Mandelstam变量：

$$s = (p_1 + p_2)^2 = (p_3 + p_4)^2, \text{ —— 质心系总能量的平方}$$

$$t = (p_1 - p_3)^2 = (p_2 - p_4)^2, \text{ —— 1和3粒子间四动量交换的平方}$$

$$u = (p_1 - p_4)^2 = (p_2 - p_3)^2, \text{ —— 1和4粒子间四动量交换的平方}$$

s, t, u 均为Lorentz不变量，满足

$$\begin{aligned} s + t + u &= (p_1 + p_2)^2 + (p_1 - p_3)^2 + (p_2 - p_3)^2 \\ &= p_1^2 + p_2^2 + p_3^2 + (p_1 + p_2 - p_3)^2 \\ &= m_1^2 + m_2^2 + m_3^2 + m_4^2 \quad (s, t, u \text{ 中只有两个独立。}) \end{aligned} \tag{2.4.5}$$

采用Mandelstam变量，二体散射面可写为

$$\frac{d\sigma}{dt} = \frac{1}{64\pi s} \frac{1}{|\vec{p}_{1cm}|^2} |\mathcal{M}|^2. \quad (2.4.6)$$

质心系中，

$$t = (E_{1cm} - E_{3cm})^2 - (|\vec{p}_{1cm}| - |\vec{p}_{3cm}|)^2 - 4|\vec{p}_{1cm}||\vec{p}_{3cm}|\sin\frac{\theta_{cm}}{2},$$

θ_{cm} 为1和3粒子间的夹角，

$$E_{1cm} = \frac{s + m_1^2 - m_2^2}{2\sqrt{s}}, \quad E_{2cm} = \frac{s + m_2^2 - m_1^2}{2\sqrt{s}},$$

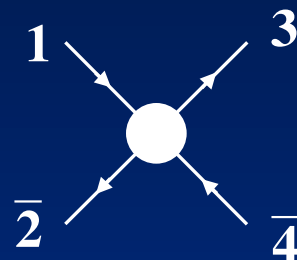
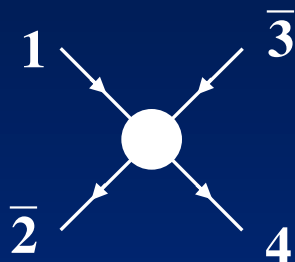
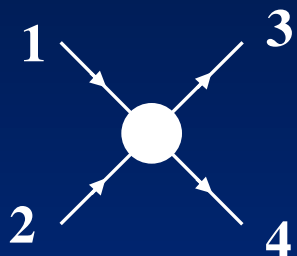
$$E_{3cm} = \frac{s + m_3^2 - m_4^2}{2\sqrt{s}}, \quad E_{4cm} = \frac{s + m_4^2 - m_3^2}{2\sqrt{s}},$$

$$p_{icm} = \sqrt{E_{icm}^2 - m_i^2}, \quad p_{1cm} = \frac{p_{1lab}m_2}{\sqrt{s}}.$$

2. s 道、 t 道、 u 道

反应的四动量守恒条件:

$$p_1 + p_2 = p_3 + p_4, \quad p_1 + (-p_3) = (-p_2) + p_4, \quad p_1 + (-p_4) = p_3 + (-p_2)$$



定义反应道:

s 道: $1 + 2 \rightarrow 3 + 4$	$s = (p_1 + p_2)^2$, — s 道质心系总能量的平方
t 道: $1 + \bar{3} \rightarrow 4 + \bar{2}$	$t = (p_1 - p_3)^2$, — t 道质心系总能量的平方
u 道: $1 + \bar{4} \rightarrow 3 + \bar{2}$	$u = (p_1 - p_4)^2$, — u 道质心系总能量的平方

s 道, t 道, u 道具有交叉对称性, 其振幅具有相同的形式

三、三体衰变, Dalitz图

定义: $p_{ij} = p_i + p_j$, $m_{ij}^2 = p_{ij}^2$,

则三个Lorentz不变的 m_{ij}^2 为

$$m_{12}^2 = (p_1 + p_2)^2 = (P - p_3)^2,$$

$$m_{23}^2 = (p_2 + p_3)^2 = (P - p_1)^2,$$

$$m_{31}^2 = (p_3 + p_1)^2 = (P - p_2)^2,$$

满足: $m_{12}^2 + m_{23}^2 + m_{31}^2 = M^2 + m_1^2 + m_2^2 + m_3^2,$ (2.4.9)

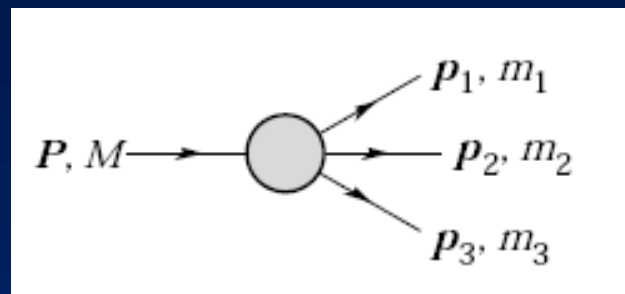
取值范围 (物理范围) 如下:

$$(m_1 + m_2)^2 \leq m_{12}^2 \leq (M - m_3)^2,$$

$$(m_2 + m_3)^2 \leq m_{23}^2 \leq (M - m_1)^2, \quad (2.4.10)$$

$$(m_3 + m_1)^2 \leq m_{31}^2 \leq (M - m_2)^2.$$

$$M \rightarrow m_1 + m_2 + m_3$$



取母粒子静止系,

$$\vec{p}_1 + \vec{p}_2 + \vec{p}_3 = 0,$$

三个末态粒子的动量方向可用三个Euler角 (α, β, γ) 标记,
则衰变宽度

$$d\Gamma = \frac{1}{(2\pi)^5} \frac{1}{16M} |\mathcal{M}|^2 dE_1 dE_2 d\alpha d(\cos\beta) d\gamma, \quad (2.4.11)$$

$$= \frac{1}{(2\pi)^5} \frac{1}{16M^2} |\mathcal{M}|^2 |\vec{p}_1^*| |\vec{p}_3| dm_{12} d\Omega_1^* d\Omega_3, \quad (2.4.12)$$

其中 $(|\vec{p}_1^*|, \Omega_1^*)$ 为粒子1在 m_{12} 静止系中的动量 $(|\vec{p}_3|, \Omega_3)$ 为粒子3
在 M 静止系中的动量,

$$|\vec{p}_1^*| = \frac{\{[m_{12}^2 - (m_1 + m_2)^2][m_{12}^2 - (m_1 - m_2)^2]\}^{1/2}}{2m_{12}}, \quad (2.4.13)$$

$$|\vec{p}_3| = \frac{\{[M^2 - (m_{12} + m_3)^2][M^2 - (m_{12} - m_3)^2]\}^{1/2}}{2M}. \quad (2.4.14)$$

由(2.4.11)式, 对 $E_2, \alpha, \beta, \gamma$ 积分, 得到粒子的能量分布:

$$\frac{d\Gamma}{dE_1} = \frac{1}{(2\pi)^5} \frac{1}{16M} \int |\mathcal{M}|^2 dE_2 d\alpha d(\cos\beta) d\gamma, \quad (2.4.15)$$

在(2.4.11)式中对 E_1, E_2, α, γ 积分, 得到末态粒子的角分布:

$$\frac{d\Gamma}{d(\cos\beta)} = \frac{1}{(2\pi)^5} \frac{1}{16M} \int |\mathcal{M}|^2 dE_1 dE_2 d\alpha d\gamma. \quad (2.4.16)$$

在(2.4.12)式中对角度积分, 可得到粒子1和2的不变质量分布

$$\frac{d\Gamma}{dm_{12}} = \frac{1}{(2\pi)^5} \frac{1}{16M^2} \int |\mathcal{M}|^2 |\vec{p}_1^*| |\vec{p}_3| d\Omega_1^* d\Omega_3. \quad (2.4.17)$$



若衰变母粒子是自旋为0的标量粒子，或对衰变母粒子的自旋求平均，得到

$$d\Gamma = \frac{1}{(2\pi)^3} \frac{1}{8M} |\overline{\mathcal{M}}|^2 dE_1 dE_2, \quad (2.4.18)$$

$$= \frac{1}{(2\pi)^3} \frac{1}{32M^3} |\overline{\mathcal{M}}|^2 dm_{12}^2 dm_{23}^2. \quad (2.4.19)$$

(Dalitz图的标准表达式)



对于给定的 m_{12}^2 ,

$$(m_{23}^2)_{\max} = (E_2^* + E_3^*)^2 - \left(\sqrt{E_2^{*2} - m_2^2} - \sqrt{E_3^{*2} - m_3^2} \right)^2, \quad (\bar{\mathbf{p}}_2 \parallel \bar{\mathbf{p}}_3)$$

$$(m_{23}^2)_{\min} = (E_2^* + E_3^*)^2 - \left(\sqrt{E_2^{*2} - m_2^2} + \sqrt{E_3^{*2} - m_3^2} \right)^2, \quad (\bar{\mathbf{p}}_2, \bar{\mathbf{p}}_3 \text{反平行})$$

$$E_2^* = (m_{12}^2 - m_1^2 + m_2^2)/2m_{12},$$

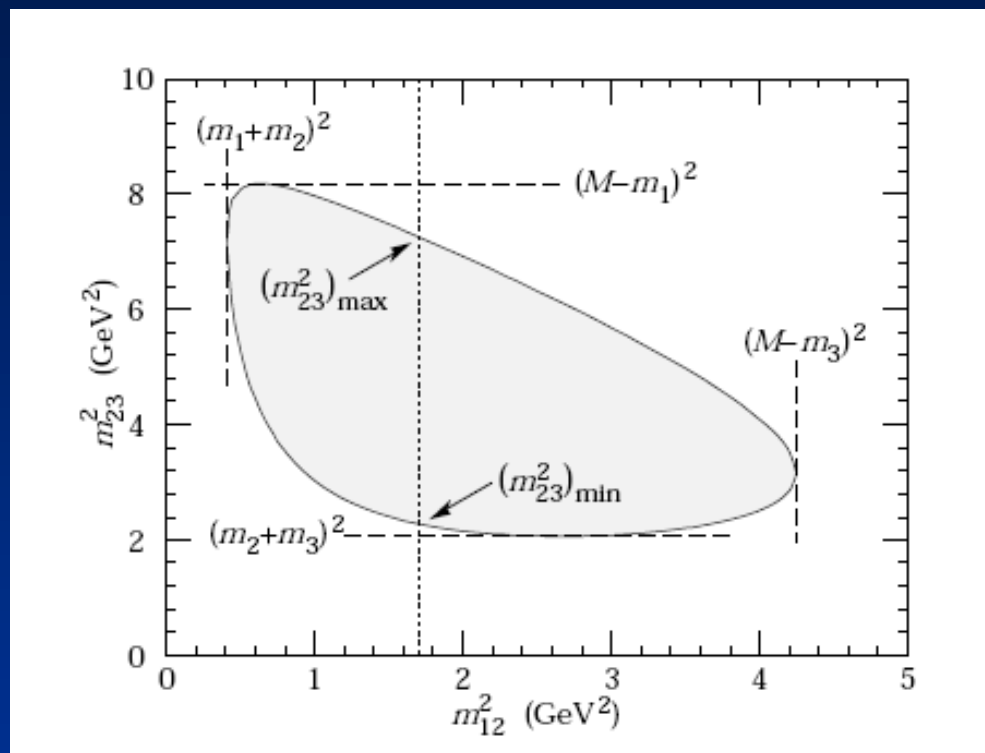
$$E_3^* = (M^2 - m_{12}^2 - m_3^2)/2m_{12}.$$

总衰变宽度:

$$\Gamma = \frac{1}{(2\pi)^3} \frac{1}{32M^3} \int_{(m_1+m_2)^2}^{(M-m_3)^2} \mathrm{d}m_{12}^2 \int_{(m_{23}^2)_{\min}}^{(m_{23}^2)_{\max}} \mathrm{d}m_{23}^2 |\overline{\mathcal{M}}|^2.$$

Dalitz图——以 m_{12}^2 和 m_{23}^2 作为直角坐标轴，把反应事例点的分布标示出来，得到的二维图。

事例点的密度分布正比于 $|\overline{\mathcal{M}}|^2$ 。



三体末态的Dalitz图

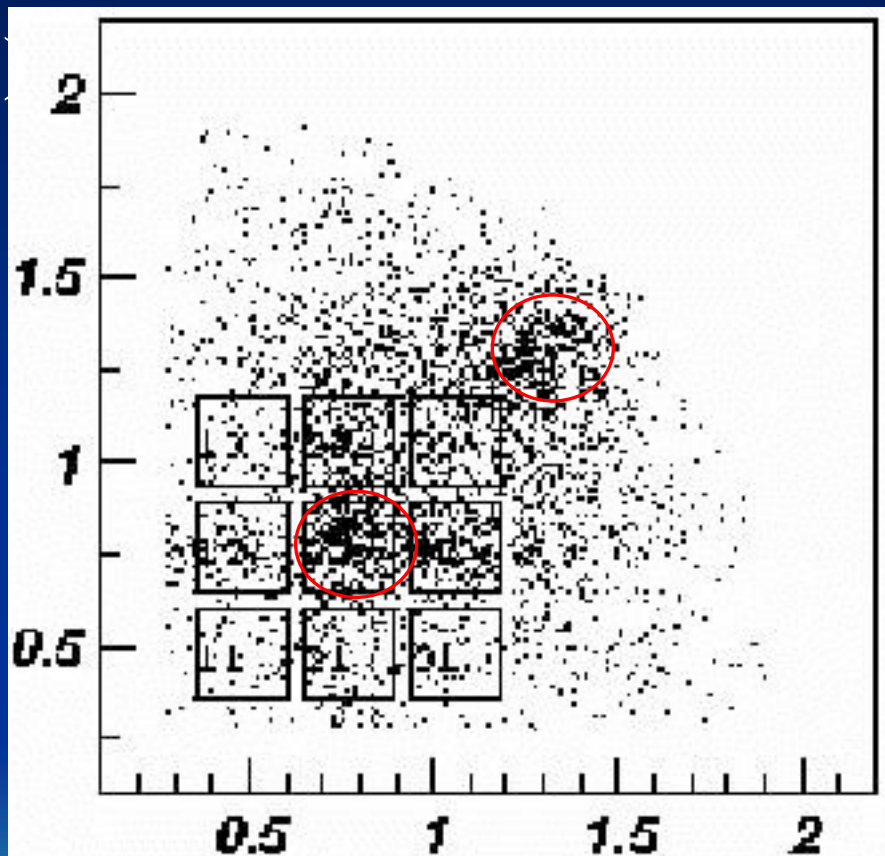
事例点的集结——存在共振态

$\eta_c \rightarrow 4\pi$ 过程的两组 $\pi\pi$ 不变质量的2维散点图:

$M_{\pi_2\pi_3} (\text{GeV}/c^2)$

$M(770\text{MeV})$

$\eta_c \rightarrow \rho\rho$



$M(1270\text{MeV})$

$\eta_c \rightarrow f_2(1270)f_2$

$M_{\pi_1\pi_4} (\text{GeV}/c^2)$